

საქართველოს ტექნიკური უნივერსიტეტი

სატრანსპორტო და მანქანათმშენებლობის ფაკულტეტი

საპონტეინერო სპორტული ფიზიკამთავრობით 20<sup>1</sup> და 40<sup>1</sup>

პროექტის ხელმძღვანელი ნ. ნარეშელაშვილი

თბილისი 2013

## შესავალი

ტვირთების გადატანის იდეა ერთი და იმავე ტარით, რომელიც არ იცვლება გადატანისას ტრანსპორტის სხვადასხვა სახეობის ცვლილებისას მიეკუთვნება ამერიკელ მეწარმეს მალკომ მაკლინს. მაკლინმა 1956 წელს შეიმუშავა პირველი ლითონის კონტეინერი ტვირთის გადასატანად. 1956 წელს პირველი გემი დაიტვირთა კონტეინერით, რომელიც განთავსებული იყო ტრაილერებზე და ნიუ-იორკიდან ჩავიდა ჰიუსტონში.

ამის შემდეგ გამომგონებელმა დააარსა საკუთარი სატვირთო სატრანსპორტო ბიზნეს-კომპანია „Sea Land inc“-ის სახით, რომელიც 1999 წელს შეიძინა მსოფლიოში წამყვანმა დანიის საზღვაო ტვირთგადამზიდავმა კომპანიამ „Maersk“. რომელიც დღეს საქართველოში ძირითადი ტვირთგადამზიდავი კომპანიაა.

ძირითადი ტვირთსატაცი მოწყობილობა, რომლითაც ხდება კონტეინერის გადატანა, სპრედერია (ინგლისური სიტყვიდან „spreader“ - დასალაგებელი მოწყობილობა). თუკი თავიდან იგი გამოიყენებოდა მხოლოდ საზღვაო კონტეინერების გადასატვირთად, დღეისთვის იგი გამოიყენება ნებისმიერი ტიპის სატვირთო კონტეინერების გადასატვირთად.

ტვირთგადამტვირთავი კომპანიები ნებისმიერი ტიპის სატვირთო კონტეინერების გადასატვირთავად გამოიყენებენ სხვადასხვა ტიპის სპრედერებს, როგორიცაა ფიქსირებული სიგრძის, ტელესკოპური, უნივერსალური, ნახევრად ავტომატური და ავტომატური (სურ. 1-13).

ნახევრად ავტომატური სპრედერი ეკიდება ჯოჯგინა, ხიდური და პორტალური ამწების კავურ საკიდზე. მისი მართვა ხდება მექანიკურად, ცენტრალური ბაგირის დაჭიმვით. ჩაბმა/ჩახსნა ხორციელდება დამხმარე მუშის გარეშე. სპრედერის სიმარტივე და მოხერხებულობა საშუალებას იძლევა, მოკლე დროში მოხდეს ამწის გადაწყობა კავური საკიდიდან საკონტეინეროზე.

შემოთავაზებული ფიქსირებული სიგრძის სპრედერების გამოყენება მიზანშეწონილია ტერმინალებზე, სადაც დასამუშავებელი კონტეინერების ძირითადი ნაკადი წარმოდგენილია უნიფიცირებული, უპირატესი ტიპისა და ზომის კონტეინერებით.

სპრედერი, მიუხედავად კონსტუქციული სიმარტივისა, საკონტეინერო ამწის საპასუხისმგებლო კვანძია, რამდენადაც იგი განიცდის ნიშანცვლად დინამიკურ დატვირთვას და მის საიმედობაზეა დამოკიდებული არა მარტო მანქანის მწარმოებლობა, არამედ მუშობის უსაფრთხოებაც. სტატისტიკის მიხედვით, ამ კვანძის მუშაობაში დარღვევა (გაუმართაობა) იწვევს საკონტეინერო დამტვირთავების წყობიდან გამოსვლის

90%-ს, რამდენადაც იგი ყველაზე დატვირთული კომპონენტია, ძირითადი პრობლემები წარმოიშვება მოწყობილობის ვიბრაციისა და დარტყმებისაგან, რომლებიც იწვევენ სპრედერის ჰიდრაულიკური და ელ. სისტემების რღვევას და ასევე, ლითონკონსტრუქციის სხვადასხვა ტიპის დაზიანებას. სპრედერზეა დამოკიდებული არა მარტო გადამტვირთავის მწარმოებლობა, არამედ დასატვირთ-გადმოსატვირთი სამუშაოების უსაფრთხოება.

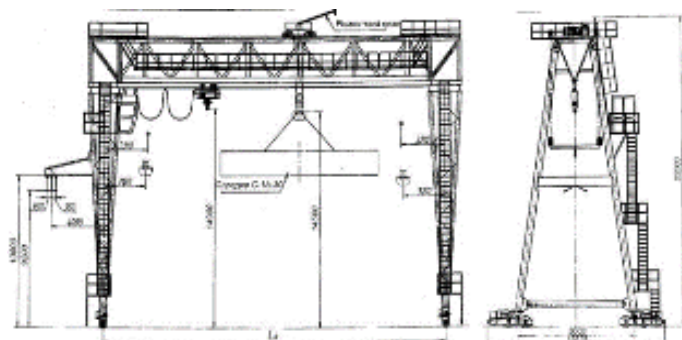
სპრედერები ხასიათდებიან საიმედოობით, უაღრესად ეკონომიურია და ექსპლუატაციაში საშუალებას იძლევიან, გახანგრძლივდეს კონტეინერების მუშაობის ხანგრძლივობა და მაქსიმალურად იქნეს აცილებული მათი დეფორმირება.

კონსტრუქციაში ჰიდრაულიკური და ელექტრული სისტემების არარსებობის შემთხვევაში მცირდება მათი დაზიანების რისკი და არ საჭიროებს სერვისზე მაღალკვალიფიციურ პერსონალს.

ისეთი ფაქტორი, როგორიცაა ტექნიკის მოქნილობის და ფუნქციონალობის ამაღლება, უკეთ დაკმაყოფილდება, თუკი ტვირთგადამტვირთავი კომპანია შეძლებს სპრედერების დამზადებას, არსებული სპრედერების მოდერნიზაციას. უნიფიცირებას და მაქსიმალურად შეამცირებს ლითონკონსტრუქციაზე დინამიკური დატვირთვების არასასურველ გავლენას.

ზემოთ ნათქვამის დასტურად, შესაძლებელია განხილული იქნას ფოთისა და ბათუმის საზღვაო ნავსადგურები, სადაც ტვირთების მიწოდება ძირითადად ხდება  $20'$  და  $40'$  საზღვაო კონტეინერებით.

ჩვენ მიერ შემოთავაზებულია  $20'$  და  $40'$  კონტეინერების გადასატვირთი სპრედერის გამარტივებული კონფიგურაციის მქონე კონსტრუქცია (სურ 14), რომლის გვერდითი ძელების გარე კედლები დაყვანილი სიხისტის შემცირების მიზნით აღჭურვილია ფურცლების ნაკრებით, რაც საშუალებას იძლევა მიღებული იქნას მაღემპფირებელი ეფექტი და აცილებული იქნეს სპრედერის ლითონკონსტრუქციის რღვევა.



სურ. 1 ჯოჯგინა ამწე (საკონტეინერო გადამტვირთავი) KK-50



სურ. 2 ჯოჯგინა საკონტეინერო ამწე 1AA და ACC ტიპის კონტეინერების  
გადასატვირთად



სურ. 3 ჯოჯგინა საკონტეინერო ამწე 1AA და ACC ტიპის კონტეინერების  
გადასატვირთად



სურ. 4



სურ. 5



სურ. 6



Автоматический спредер  
© Анна Мартынова / Фотобанк Лори

Фотобанк Лори  
lori.ru/1931470

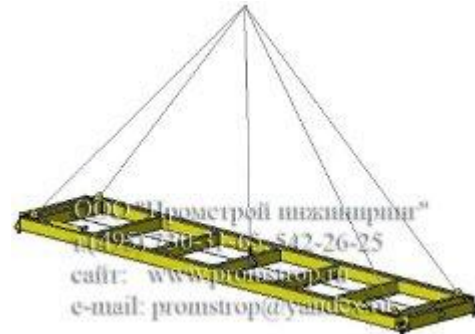
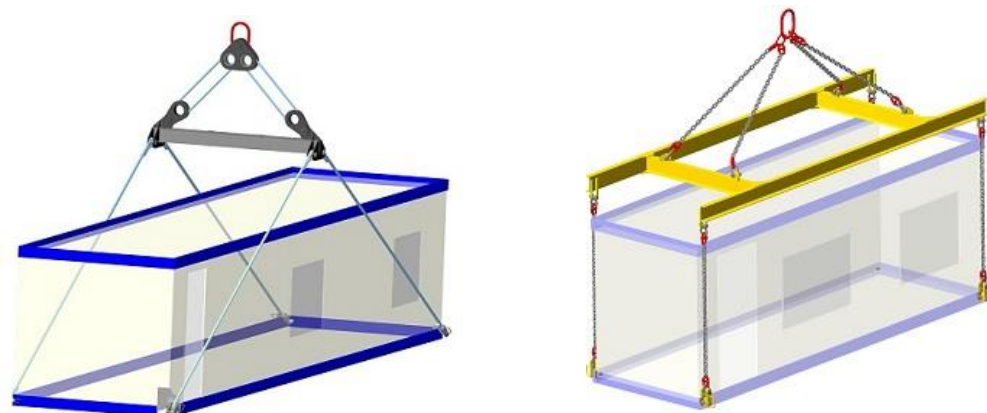
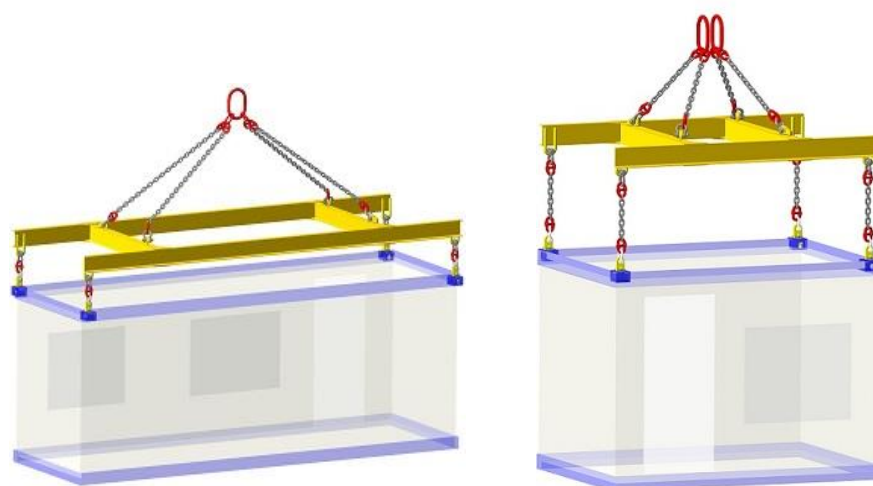
სურ. 7



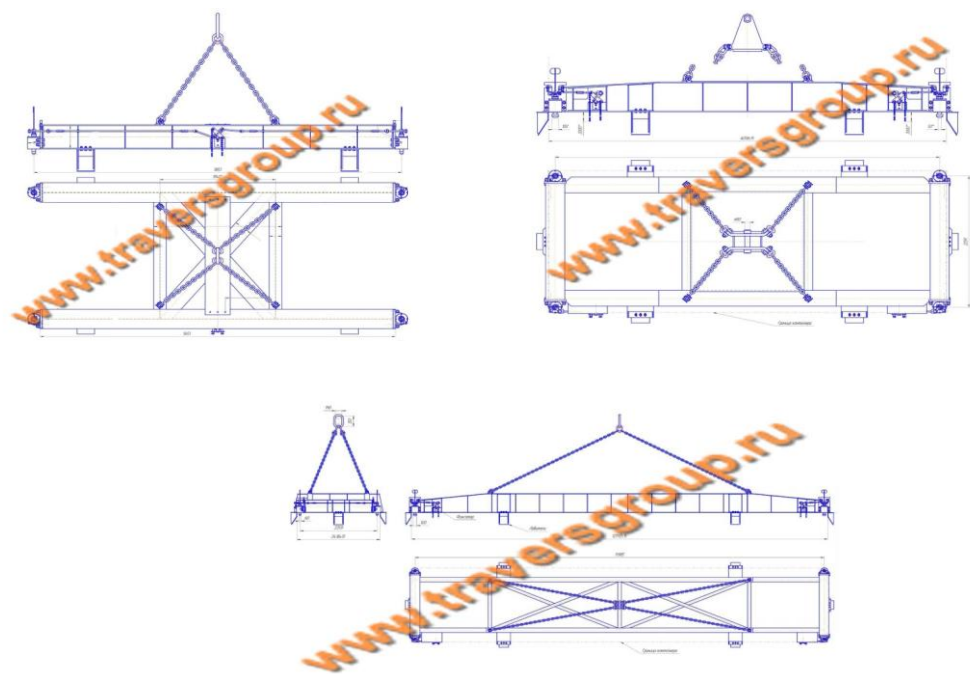
სურ. 8



სურ. 9



Бүр. 10 საკონტეინერო ტრანზერვი - სპეციალური



სურ. 11 ტრავერსების სქემები



სურ. 12 უნივერსალური დასაშლელი ტრავერსა-სპრედერი  
20<sup>l</sup> და 40<sup>l</sup> კონტეინერებისათვის

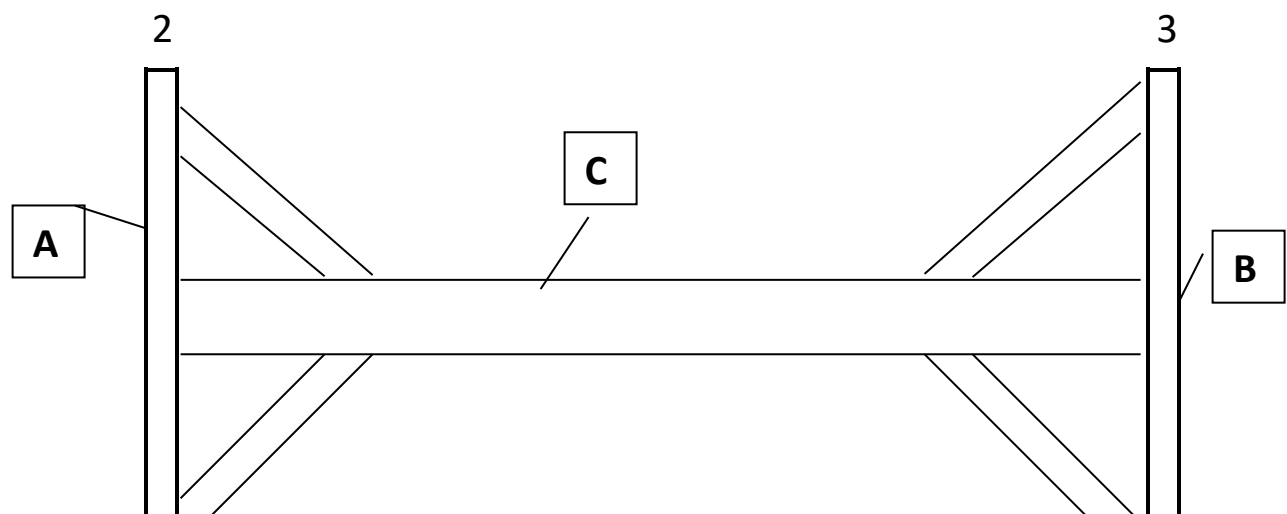


სურ. 13 ტრაგერსა-სპრედერი  $20^I$  და  $40^I$  კონტეინერებისათვის



სურ. 14 მოდერნიზირებული ტრაგერსა-სპრედერი

$20^I$  და  $40^I$  კონტეინერებისათვის



**1**

**4**

68b. 1

ინსტრუმენტალურ-გაზომვითი სამუშაოები, მიღებული შედეგების დამუშავება და შემაჯამებელი ანგარიშის შედგენა შესრულებულია ISO 9712-2012 შესაბამისად.

ობიექტზე ინსტრუმენტალურ-გაზომვითი სამუშაოები, კვლევის შედეგების დამუშავება და შემაჯამებელი ანგარიშის შედგენა შესრულებულია 2013 წლის დეკემბერში.

## 2. შემოწმების მიზანი.

სამუშაოები შესრულებულია თანახმად ტექნიკური დავალების, რომლის მიხედვითაც ჩასატარებელია სპრედერების ძირითად ლითონური და ლითონკონსტრუქციების შენადუღ ნაკერებში ტექნიკური მდგომარეობის კვლევა.

სამუშაოს მიზანს წარმოადგენს გამოვლენილი იქნას დეფექტების სახე, რომელსაც მწყობრიდან გამოყავს სპრედერი. კვლევა ტარედება ურდვევი კონტროლის მეთოდით;

დიაგნოსტირების პროცესი მოიცავს როგორც კაპილარული ბზარების გამოვლენის პროცესს, ასევე შენადუღი ნაკერების ვარგისიანობის, დეფორმაციათა ნაირსახეობის და კოროზიის სიჩქარის დადგენას. შემოწმებას ექვემდებარება კონსტრუქციული ნაწილი.

## 3. შესამოწმებელი ობიექტის აღწერა

შესამოწმებელი ობიექტი წარმოადგენს ლითონის კვადრატული მილისაგან დამზადებულ სივრცითი ჩარჩოს ლითონკონსტრუქციას. დაუშლელი შეერთების არეში გამოყენებულია ელ. რკალური შედუდება. შენადუღი ნაკერები შესრულებულია ГОСТ 5264-80-ის მოთხოვნების გათვალისწინებით. ქვემოთ ნაჩვენებია ლითონკონსტრუქციებში დეფექტირებული არეების და შენადუღი ნაკერების სახასიათო ფრაგმენტების ფოტოები.

#### **4. გამოყენებული ნორმატიული დოკუმენტაცია**

ლითონებრუქციების შემოწმების პროცედურების და შეფასების კრიტერიუმების დადგენისას, გათვალისწინებული იქნა შემდეგი დოკუმენტაციის მოთხოვნები: ლითონებრუქციებით შესრულებული კონსტრუქციის ტექნიკური მდგომარეობის კვლევა წარმოებული იქნა თანახმად მოქმედი წესებისა და მოთხოვნებისა:

1. ГОСТ 3242-79 Соединения сварные. Методы контроля качества
2. ГОСТ 14782-86 Соединения сварные. Методы ультразвуковые;
3. ГОСТ 5272-69 –Коррозия металлов;
4. МДС 53-2.2004 Диагностирование стальных конструкций;
5. ГОСТ 12503-75 Сталь. Методы ультразвукового контроля. Общие требования;
6. ГОСТ 22368-77 Контроль неразрушающий. Классификация дефектности стыковых сварных швов по результатам ультразвукового контроля;
7. ГОСТ 23049-78 Контроль неразрушающий. Дефектоскопы ультразвуковые. Общие технические требования;
8. ГОСТ 23703-79 Контроль неразрушающий. Преобразователи ультразвуковые. Основные параметры и методы их измерений;

#### **5. შემოწმების მეთოდიკა**

ტექნიკური მდგომარეობის კვლევის კონცეფციის თანახმად განისაზღვრა სამუშაოს მეთოდიკა და ამოცანები:

1. ადგილზე გასვლა და სიტუაციის გაცნობა;
2. კონსტრუქციების ვიზუალურ-ტექნიკური გამოკვლევა;
3. ლითონებრუქციებიებში შენადუდი ნაკერების გარგისიანობის დადგენა;
4. ლითონებრუქციებში კოროზიის დონის დადგენა;

ინსტრუმენტალური გაზომვების პროცესში, გამოყენებული იქნა:

- ლითონგონსტრუქციების შეფასების ვიზუალურ-გაზომვითი მეთოდი;
- ლითონგონსტრუქციებში შენადუდი ნაკერების შემოწმების ულტრაბგერითი მეთოდი;
- შემოწმების პროცესში ტარდებოდა მიმდინარე სამუშაოების ამსახველი პროცესების ფოტოგრაფირება.

ვიზუალურ-გაზომვითი მეთოდით შემოწმებული იქნა ყველა შეერთების კვანძი, რომლებთანაც შესაძლებელი იყო ოპერატორის მისვლა და ულტრაბგერითი მეთოდით მათი ტესტირება.

## 6. გამოყენებული აპარატურა

შემოწმების მიზნებიდან გამომდინარე, გამოყენებული იქნა ურდვევი კონტროლის ვიზუალურ-გაზომვითი და ულტრაბგერითი ექო-იმპულსური აპარატურა:

- ულტრაბგერითი დეფექტოსკოპი, გადამწოდების სტანდარტული კომპლექტით;
- ულტრაბგერითი აპარატურის დასაკალიბრებელი ნიმუშები და საშუალებები;
- ციფრული ფოტოაპარატი;
- შტანგენფარგალი;
- გამზომი 10 მეტრიანი ლენტი;
- 10-ჯერადი გამადიდებელი ლუპა.

ლითონგონსტრუქციის კვლევა ჩატარდა ულტრაბგერითი დეფექტოსკოპის KRAUTKRAMER-BRONSON USN-52, 2 მგპ მძებნელით, 65<sup>0</sup> გრადუსიანი დახრით. სისქისმზომი Ultrasonic - Elcometer 204 და კაპილარული მეთოდის გამოყენებით.

## 7. შემოწმების შედეგები

კონსტრუქციული ელემენტების შემოწმების შედეგები მოიცავს:

- შენადუღი ნაკერების ვიზუალურ-გაზომვითი და ულტრაბეგერითი მეთოდებით შეფასების ოქმს;
- ფოტოფიქსაციას;
- შემოწმების ანგარიშის ტექსტურ ნაწილს.

$20^i$  და  $40^i$  საკონტეინერო სპრედერების დიოთონკონსტრუქციის

ტექნიკური მდგომარეობის გამოკვლევის აქტები

**I.**  $20^i$  საკონტეინერო სპრედერი GH 6020, საქარხნო №6740.2.2004, ინგ. №403/1842, დამამზადებელი – GERMANI, “SMIT” ROMMA, დამზადებულია 2004 წ. ექსპლუატაციაშია 2004 წლიდან. მდებარეობს ფოთის საზღვაო ნავსადგურში.

1. ლითონკონსტრუქციის მდგომარეობის გამოკვლევამ აჩვენა შემდეგი: ბზარები შენადუდ ნაკერებში, შენადუდი ნაკერების მიმდებარე ზონებში და ძირითად ლითონში გამოვლინდა (სურ. 2, 3);
2. სატაცი მექანიზმი – ნორმალურ მდგომარეობაშია;
3. საერთო დეფორმაციები – არ შეინიშნება;
4. ადგილობრივი დეფორმაციები – არ შეინიშნება;
5. ლითონკონსტრუქციის კოროზია – არ შეინიშნება;
6. შეღებვის ხარისხი – შესაღებია;

**II.**  $20^i$  საკონტეინერო სატაცი GH 6020, საქარხნო №6740.1.2004, საინვენტარო №404/1842ა მდებარეობს ფოთის საზღვაო ნავსადგურში დამზადებულია 2004 წ. ექსპლუატაციაშია 2004 წლიდან.

შესრულებულ სამუშაოთა ჩატარებისას დადგენილია:

1. ლითონკონსტრუქციის მდგომარეობის გამოკვლევამ აჩვენა შემდეგი: ბზარები შენადუდ ნაკერებში გამოვლინდა განივი ძელების ტორსულ ზედაპირზე მე-2 (სურ. 5-10) მე-2 და მე-4 წერტილებში (სურ. 5-10). შენადუდი ნაკერების მიმდებარე ზონებში და ძირითად ლითონში ბზარები არ გამოვლინდა;
2. სატაცი მექანიზმი – ნორმალურ მდგომარეობაშია;
3. საერთო დეფორმაციები – არ შეინიშნება;
4. ადგილობრივი დეფორმაციები – B განივ დერძზე დეფორმაციის სიდიდე 20 მმ, A განივ დერძზე დეფორმაციის სიდიდე 18 მმ (სურ. 5);

5. ლითონგონსტრუქციის კოროზია – არ შეინიშნება;

III. 20<sup>i</sup> საკონტეინერო სატაცი GH 6020, საქარხო №81709, ინვ. №405/FA00034.

დამამზადებელი – VDL The Netherlands. დამზადებულია 2012 წ. ექსპლუატაციაშია 2012 წლიდან. მდებარეობს ფოთის საზღვაო ნავსადგურში.

შესრულებულ სამუშაოთა ჩატარებისას დადგენილია:

1. ლითონგონსტრუქციის მდგომარეობის გამოკვლევამ აჩვენა შემდეგი: ბზარები შენადუდ ნაკერებში, შენადუდი ნაკერების მიმდებარე ზონებში და ძირითად ლითონში გამოვლინდა (სურ. 16, 17).
2. სატაცი მექანიზმი – ნორმალურ მდგომარეობაშია;
- 3.. საერთო დეფორმაციები – არ შეინიშნება;
4. ადგილობრივი დეფორმაციები – B განივ ძელზე დეფორმაციის სიდიდე 15 მმ (სურ. 12, 13), A განივ დერძზე დეფორმაციის სიდიდე 12 მმ (სურ. 14, 15, 18-26);
5. ლითონგონსტრუქციის კოროზია – არ შეინიშნება;

IV. 20<sup>i</sup> საკონტეინერო სატაცი GH 6020, საქარხო №81759, ინვ. №408/FA00104 მდებარეობს ფოთის საზღვაო ნავსადგურში. დამამზადებელი – VDL The Netherlands დამზადებულია 2012 წ. ექსპლუატაციაშია 2012 წლიდან;

1. ლითონგონსტრუქციის მდგომარეობის გამოკვლევამ აჩვენა შემდეგი: ბზარები შენადუდ ნაკერებში, შენადუდი ნაკერების მიმდებარე ზონებში და ძირითად ლითონში არ გამოვლინდა;

2. სატაცი მექანიზმი – ნორმალურ მდგომარეობაშია;
3. საერთო დეფორმაციები – არ შეინიშნება;
4. ადგილობრივი დეფორმაციები – არ შეინიშნება;
5. ლითონგონსტრუქციის კოროზია – არ შეინიშნება;
6. შედებვის ხარისხი – ნორმალურ მდგომარეობაშია;

V. 20<sup>i</sup> საკონტეინერო სატაცი GH 6020, საქარხნო №81758, №407/FA00103, დამამზადებელი – VDL The Netherlands. დამზადებულია 2012 წ. ექსპლუატაციაშია 2012 წლიდან. მდებარეობს ფოთის საზღვაო ნავსადგურში.

1. ლითონგონსტრუქციის მდგომარეობის გამოკვლევამ აჩვენა შემდეგი: ბზარები შენადუღ ნაკერებში, შენადუღი ნაკერების მიმდებარე ზონებში და ძირითად ლითონში არ გამოვლინდა.
2. სატაცი მექანიზმი – ნორმალურ მდგომარეობაშია;
3. საერთო დეფორმაციები – არ შეინიშნება;
4. ადგილობრივი დეფორმაციები – არ შეინიშნება;
5. ლითონგონსტრუქციის კოროზია – არ შეინიშნება;
6. შედებვის ხარისხი – ნორმალურ მდგომარეობაშია;

VI. 40<sup>i</sup> საკონტეინერო სატაცი GH 6020, საქარხნო №6740.3.2004, №411/1843, დამამზადებელი – “SMIT“ Germany. დამზადებულია 2004 წ. ექსპლუატაციაშია 2004 წლიდან. მდებარეობს ფოთის საზღვაო ნავსადგურში.

1. ლითონგონსტრუქციის მდგომარეობის გამოკვლევამ აჩვენა შემდეგი: ბზარები შენადუღ ნაკერებში, შენადუღი ნაკერების მიმდებარე ზონებში და ძირითად ლითონში გამოვლინდა.

ბზარები დაფიქსირებულია A განივი ძელის 1 და მე-2 ტორსული ზედაპირების ზედა შიდა კუთხეებში (სურ. 30-34, 39);

2. სატაცი მექანიზმი – ნორმალურ მდგომარეობაშია;
3. საერთო დეფორმაციები – არ შეინიშნება;
4. ადგილობრივი დეფორმაციები – შეინიშნება A და B განივ ძელებზე (სურ. 35-38). დეფორმაციის სიდიდე A ძელზე 45 მმ და დეფორმირებულ კედელზე დამატებითი ნაჭდევია, სიღრმით 12მმ. ასეთივე მდგომარეობაა B განივ ძელზე. კედლის დეფორმაციის სიდიდე 40 მმ. დეფორმირებულ კედელზე დამატებითი ნაჭდევია, სიღრმით 18მმ;
5. ლითონებრუნვების კოროზია – არ შეინიშნება;
6. შედებვის ხარისხი – შესაღებია;

**VII.** 40<sup>i</sup> საკონტეინერო სატაცი GH 6020, საქარხნო №6740.4.2004, №421/1843ა დამამზადებელი – “SMIT“ Germany. დამზადებულია 2004 წ. ექსპლუატაციაშია 2004წლიდან. მდებარეობს ფოთის საზღვაო ნავსადგურში.

შესრულებულ სამუშაოთა ჩატარებისას დადგენილია:

1. ლითონებრუნვების მდგომარეობის გამოკვლევამ აჩვენა შემდეგი: ბზარები შენადუდ ნაკერებში, შენადუდი ნაკერების მიმდებარე ზონებში და ძირითად ლითონში გამოვლინდა. ბზარები დაფიქსირებულია A და B განივი ძელების 1 და მე-4 ტორსული ზედაპირების ზედა შიდა კუთხეებში (სურ. 44, 45);

2. სატაცი მექანიზმი – ნორმალურ მდგომარეობაშია;
3. საერთო დეფორმაციები – არ შეინიშნება;
4. ადგილობრივი დეფორმაციები – შეინიშნება A და B განივ ძელებზე (სურ. 41-43). დეფორმაციის სიდიდე A ძელზე 20 მმ. ასეთივე მდგომარეობაა B განივ ძელზე. კედლის დეფორმაციის სიდიდე 40 მმ. დეფორმირებულ კედელზე დამატებითი ნაჭდევია, სიღრმით 16 მმ; დეფორმირებულია განივი ძელების სამი ერთეული ტორსული ზედაპირის კედელი (სურ. 41, 43, 44). დეფორმაციის სიდიდე მერყეობს 40-70 მმ-მდე;
5. ლითონგონსტრუქციის კოროზია – არ შეინიშნება;
6. შედებვის ხარისხი – შესაღებია;

**VIII.** 40<sup>i</sup> საკონტეინერო სატაცი GH 6020, საქართველო №81395, ინვ. №437/6936. დამამზა-დებელი – VDL The Netherlands. დამზადებულია 2011 წ. ექსპლუატაციაშია 2011 წლიდან. მდებარეობს ფოთის საზღვაო ნავსადგურში.

შესრულებულ სამუშაოთა ჩატარებისას დადგენილია:

1. ლითონგონსტრუქციის მდგომარეობის გამოკვლევამ აჩვენა შემდეგი: ბზარები შენადუდ ნაკერებში, შენადუდი ნაკერების მიმდებარე ზონებში და ძირითად ლოთონში გამოვლინდა.

ბზარი დაფიქსირებულია A განივი ძელის მე-2 ტორსული ზედაპირების ზედა შიდა კუთხეში (სურ. 48);

2. სატაცი მექანიზმი – ნორმალურ მდგომარეობაშია;

3. საერთო დეფორმაციები – არ შეინიშნება;
4. ადგილობრივი დეფორმაციები – შეინიშნება A და B განივ ძელებზე (სურ. 47-49). დეფორმაციის სიდიდე A ძელზე 20 მმ. B განივ ძელზე კედლის დეფორმაციის სიდიდე 20 მმ. დეფორმირებულ კედელზე დამატებითი ნაჭდევია, სიღრმით 20 მმ;

დეფორმირებულია განივი ძელების სამი ერთეული ტორსული ზედაპირის კედელი (სურ. 47, 49, 50, 51, 52, 53, 54, 55). დეფორმაციის სიდიდე მერყეობს 10-25 მმ-მდე;

5. ლითონგონსტრუქციის კოროზია – არ შეინიშნება;

6. შედებვის ხარისხი – შესაღებია;

**IX.** 40<sup>i</sup> საკონტრინერო სატაცი ტე 6020, საქარხო №81396, ინკ. №438/6937, დამამზადებელი – VDL The Netherlands. დამზადებულია 2011 წ. ექსპლუატაციაშია 2011 წლიდან. .მდებარეობს ფოთის საზღვაო ნავსადგურში.

1. ლითონგონსტრუქციის მდგომარეობის გამოკვლევამ აჩვენა შემდეგი: ბზარები შენადუღ ნაკერებში, შენადუღი ნაკერების მიმდებარე ზონებში და მირითად ლითონში გამოვლინდა.

ბზარი დაფიქსირებულია A განივი ძელის მე-2 ტორსული ზედაპირების ზედაშიდა კუთხებში (სურ. 59, 60);

2. სატაცი მექანიზმი – ნორმალურ მდგომარეობაშია;

3. საერთო დეფორმაციები – არ შეინიშნება;

4. ადგილობრივი დეფორმაციები – შეინიშნება A და B განივ ძელებზე (სურ. 57-59). ადგილობრივი დეფორმაციის სიდიდე A ძელზე ნაჭდევების სახით 50-70 მმ (სურ. 57-62) B განივ ძელზე კედლის დეფორმაციის სიდიდე 5 მმ. დეფორმირებულ კედელზე დამატებითი ნაჭდევებია, სიღრმით 12 მმ (სურ. 64); დეფორმირებულია განივი ძელების ტორსული ზედაპირის კედელი (სურ. 57, 59, 63, 65). დეფორმაციის სიდიდე მერყეობს 20-40 მმ-მდე;
5. ლითონგონსტრუქციის კოროზია – არ შეინიშნება;
6. შეღებვის ხარისხი – შესაღებია;

**X.** 40<sup>i</sup> საკონტეინერო სატაცი GH 6020, საქარხო №81397, ინვ. №439/6938. დამამზადებელი – VDL The Netherlands. დამზადებულია 2011 წ. ექსპლუატაციაშია 2011 წლიდან. მდებარეობს ფოთის საზღვაო ნავსადგურში.

1. ლითონგონსტრუქციის მდგომარეობის გამოკვლევამ აჩვენა შემდეგი: ბზარები შენადუდ ნაკერებში, შენადუდი ნაკერების მიმდებარე ზონებში და ძირითად ლითონში არ გამოვლინდა.

ბზარი დაფიქსირებულია A განივი ძელის მე-2 ტორსული ზედაპირების ზედა შიდა კუთხებში (სურ. 70, 71). B ძელის მე-3 წერტილში გარე მარცხენა ზედა კუთხებში უხარისხო შენადუდი ნაკერია (სურ. 71, 72). შეინიშნება შეუდუღებელი ხაზი ზომით 32 მმ;

2. სატაცი მექანიზმი – გატეხილია მიმმართველის საყელური A ძელის 1 ტორსული ზედაპირის მხარეს;

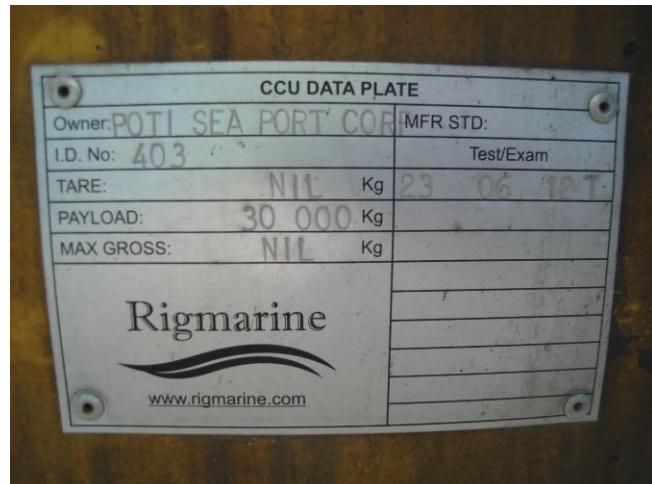
3. საერთო დეფორმაციები – არ შეინიშნება;
4. ადგილობრივი დეფორმაციები – შეინიშნება A და B განივი ძელების (სურ. 67, 69, 70, 70, 72) ტორსულ ზედაპირებთან. დეფორმაციის სიდიდე მერყეობს 15-30 მმ; დეფორ-მირებულია განივი ძელების ტორსული ზედაპირის კედელი (სურ. 67, 69). დეფორმაციის სიდიდე მერყეობს 20-40 მმ-მდე;
5. ლითონგონსტრუქციის კოროზია – არ შეინიშნება;
6. შეღებვის ხარისხი – შესაღებია;

**XI.** 40<sup>i</sup> საკონტეინერო სატაცი GH 6020, საქართველო №81760, ინვ. №406/FA00105. დამამზადებელი – VDL The Netherlands. დამზადებულია 2012 წ. ექსპლუატაციაშია 2012 წლიდან. მდებარეობს ფოთის საზღვაო ნავსადგურში.

1. ლითონგონსტრუქციის მდგომარეობის გამოკვლევამ აჩვენა შემდეგი: ბზარები შენადუღ ნაკერებში, შენადუღი ნაკერების მიმდებარე ზონებში და ძირითად ლითონში არ გამოვლინდა.
2. სატაცი მექანიზმი – ნორმალურ მდგომარეობაშია;
3. საერთო დეფორმაციები – არ შეინიშნება;
4. ადგილობრივი დეფორმაციები – არ შეინიშნება;
5. ლითონგონსტრუქციის კოროზია – არ შეინიშნება;
6. შეღებვის ხარისხი – ნორმალურია;

## დასკვნა

20<sup>i</sup> და 40<sup>i</sup> საკონტეინერო სატაცების ძირითად ლითონში და შენადუდ ნაკერებში გამოვლენილი კაპილარული ბზარების და ადგილობრივი დეფორმაციების ანალიზის საფუძველზე ჩვენს მიერ დადგენილი იქნა, რომ ზემოაღნიშნული გადმოსატვირთი მოწყობილობის ყველაზე სუსტ ადგილს წარმოადგენს მისი გვერდითი ძელები, რამდენადაც მათ უწევს დარტყმითი დატვირთვის მიღება გემის ტრიუმთან შეჯახებისას და საჭიროებას წარმოადგენს სწორედ ამ ადგილებში ჭარბი დინამიკური ძალების ჩახშობა.



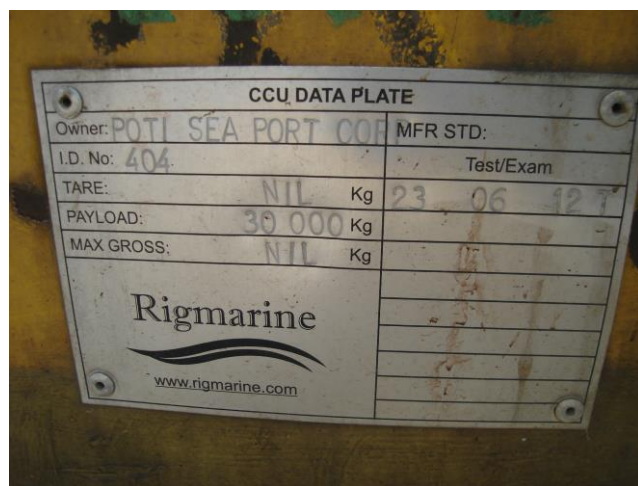
სურ. 1



სურ. 2



სურ. 3



სურ. 4



სურ. 5



სურ. 6



სურ. 7



სურ. 8



სეგმ. 9



სეგმ. 10



სეგმ. 11



სურ. 12



სურ. 13



სურ. 14



სურ. 15



სურ. 16



სურ. 17



სერ. 18



სერ. 19



სერ. 20



სურ. 21



სურ. 22



სურ. 23



სურ. 24



լւյթ. 25



լւյթ. 26



լւյթ. 27



լոյթ. 28



լոյթ. 29



լոյթ. 30



სურ. 31



სურ. 32



სურ. 33



სურ. 34



სურ. 35



სურ. 36



სურ. 37



სურ. 38



ബാർ. 39



ബാർ. 40



լայն. 41



լայն. 42



լայն. 43



լայն. 44



სურ. 45



სურ. 46



სურ. 47



სურ. 48



სურ. 49



სურ. 50



სურ. 51



სურ. 52



სურ. 53



სურ. 54



სურ. 55



სურ. 56



სურ. 57



სურ. 58



სურ. 59



სურ. 60



სურ. 61



სურ. 62



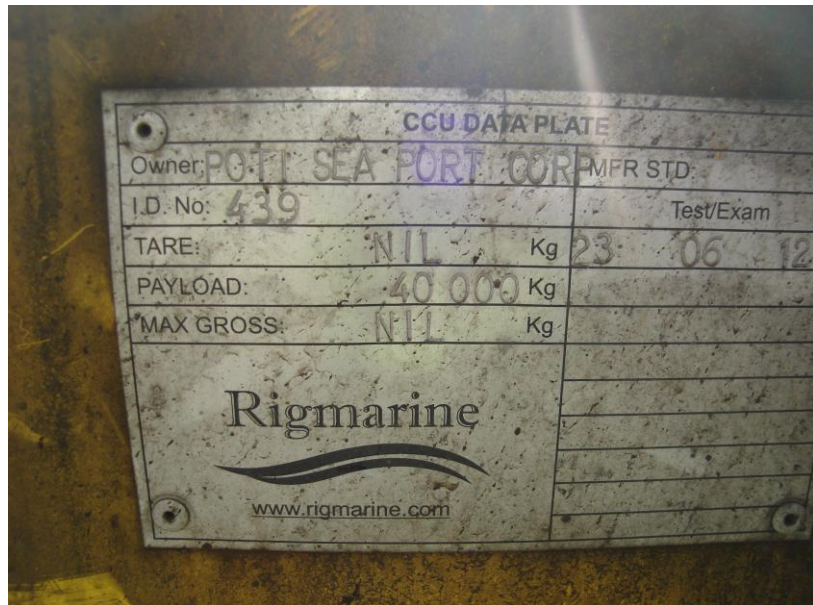
სურ. 63



სურ. 64



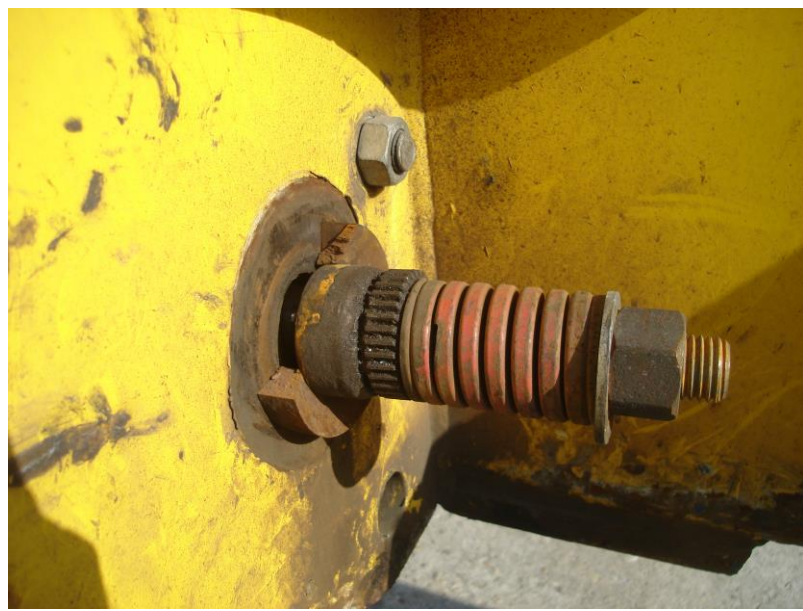
სურ. 65



სურ. 66



სურ. 67



სურ. 68



სურ. 69



სურ. 70



სურ. 71



სურ. 72

### სამუშაოს სამრთო დახასიათება

პრობლემის აქტუალობა. მანქანათმშენებლობაში ეკონომიკური და სოციალური განვითარების ძირითადი მიმართულება ითვალისწინებს ტექნიკური დონის და ხარისხის ამაღლებას, ეკონომიკურობისა და მწარმოებლობის მატებას მისი საიმედოობისა და ხანგამძლეობის ზრდასთან ერთად ეკონომიკურად გამართლებულ ზღვრებში ერთეულოვანი სიმძლავრის მანქანებისა და მოწყობილობისათვის, წარმოებაში მათი დანახარჯების შემცირებას, მანქანის ლითონზეგადობის და ენერგოტევადობის შემცირებას.

სპრედერის მზიდი ლითონგონსტრუქცია, როგორც ზემოთ იყო განხილული, წარმოდგენილია კოლოფა კვეთის გრძივი და ორი განივი ძელისაგან. მათი შეერთების არეში, კონსტრუქციული სიმტკიცის გაზრდის მიზნით დამატებულია

ირიბანები. ფიტინგების მართვა ხდება ბერკეტული სისტემითა და კავშე ჩამოკი-  
დებული ჯამბარებით.

სპრედერის არასწორი ექსპლუატაციის შედეგად ხდება განივი ძელების დე-  
ფორმირება, მის ბოლოებში და შუა წელში კაპილარული ბზარების წარმოქმნა  
(სურ. 73, 74). კაპილარული ბზარები წარმოიშვება ასევე, სპრედერის ირიბანების  
შუა და განივ ძელებთან შეერთების არეში. ყველაზე მეტად საშიში კვანძია  
სპრედერის სატაცები, ე.წ. ფიტინგები. კაპილარული ბზარები გამოვლინდა სატა-  
ცის ყელში (სურ. 76-78). ადგილი აქვს მათ დეფორმირებასაც (სურ. 75, 78, 79),  
რაც იწვევს სისტემის დაბლოკვას და კონტეინერების დასაწყობება შესაძლოა  
დასრულდეს ფატალური შედეგით.

**კვლევის მიზანი** – პორტალური ამწის სპრედერის დარტყმის საწინააღმდე-  
გო მედეგობის ამაღლება სპეციფიკურ პირობებში ექსპლუატაციისას. ასეთ შემ-  
თხვევაში განსაკუთრებით აქტუალურია დემპფირების პრობლემა დარტყმითი ხა-  
სიათის დატვირთვების შემცირების მიზნით.

დასახულ ამოცანათა გადაწყვეტის მიზნით ჩატარებული იქნა კვლევა ამწის  
მუშა მოწყობილობის სიხისტის შესასწავლად. ექსპერიმენტალური კვლევის შე-  
დეგებიდან გამომდინარე, დადგენილია სპრედერის კონსტრუქციის ოპტიმიზაციის  
გზები დატყმასაწინააღმდეგო მედეგობის ამაღლების მიზნით.

**სამეცნიერო სიახლე** მდგომარეობს უპირველეს ყოვლისა, სპრედერის, რო-  
გორც სივრცითი კონსტრუქციის განხილვაში, რომელშიც დაყვანილი სიხისტის  
სიდიდე დამოკიდებულია მის სივრცით მდგომარეობაზე.

**პრაქტიკული ფასეულობა** მდგომარეობს მაღემპფირებელი კონსტრუქციული  
ელემენტის გადაწყვეტაში, რომლის საშუალებითაც ხდება განივი ძელების დაც-  
ვა, რაც ამცირებს დინამიკურ დატვირთვებს და ზრდის სპრედერის დარტყმამე-  
დებობას.

მუშა მოწყობილობაზე მაქსიმალური დატვირთვის განსაზღვრისას არსებითი  
მნიშვნელობა აქვს დარტყმის ხასიათის სწორ შეფასებას. წინადობასთან შეჯა-  
ხებისას დარტყმა უნდა განიხილებოდეს, როგორც დრეკადი.

შეჯახებისას აღმრული დინამიკური ძალის სიდიდის შემცირებისას რადიკალური მეთოდი იმ სისტემის სიხისტის შემცირებაა, რომელიც დარტყმას განიცდის. ამ ასპექტში სპრედერის ელემენტების სიხისტის კვლევა და იმ ღონისძიებათა შემუშავება, რაც ხელს შეუწყობს მათ შემცირებას, ფრიად აქტუალურია, რამდენადაც დარტყმითი ენერგია შთაინთექმება სისტემის ცალკეული ელემენტების მიერ სხვადასხვა ხარისხით. დარტყმითი ხასიათის დატვირთვების დონის შემცირება და ამასთანავე სპრედერის სა-იმედოობის ამაღლება შესაძლებელია მიღწეული იქნას ენერგიის სპეციალური კონცენტრატორების დახმარებით.

სპრედერის ანალიზმა ცხადყო, რომ გაანგარიშებისას ეკონომიკური თვალსაზრისით მათი საიმედოობა 20...30%-ით ნაკლებია, ხოლო მისი ცალკეული ელემენტების ლითონიტევადობა საიმედოობის დონის არარაციონალური განაწილების გამო 15-20%-ით მეტია დასაშვებზე.

სპრედერის სიმტკიცეზე გაანგარიშებისას დინამიკური ძალის მდგენელი გათვალისწინებულია დინამიურობის კოეფიციენტით, ან საკიდი მოწყობილობისა და წინაღობის სიხისტის ჯამური კოეფიციენტით, მოძრავი აგრეგატის მასით და გადაადგილების სიჩქარით. არაა გათვალისწინებული მუშა ორგანოს კონსტრუქცია და პარამეტრები, დატვირთვის მოდების ად-გილი, დარტყმისას მისი სივრცითი მდგომარეობა და დემპფირებისას ხახუნის ძალების გავლენა.

მრავალი მეცნიერის მიერ ჩატარებულმა კვლევებმა ცხადყო, რომ სპრედერის მოქმედი დატვირთვების განსაზღვრის მეთოდიკის გაუმჯობესება შეუძლებელია სისტემის სიხისტეზე მოქმედი ძირითადი ფაქტორების კვლევის გარეშე.

მუშა მოწყობილობის სიხისტის შემცირება მის ოპტიმალურ სიდიდემდე საშუალებას იძლევა, შესამჩნევად იქნას შემცირებული ექსპლუატაციისას წარმოქმნილი დარტყმითი დატვირთვები.

წარმოდგენილი კვლევის მიზანია, სპრედერის საიმედოობის ამაღლება, დამოკიდებული ოპტიმალური სიხისტის შერჩევაზე. დასახული მიზნის მისაღწევად აუცილებელია სპრედერის რაციონალური საანგარიშო სქემის შერჩევა; წინაღობასთან სპრედერის შეხლის პროცესის მათემატიკური მოდელის ფორმირება; სი-

ხისტის დაყვანილი კოეფიციენტის განსაზღვრა; დემპფერის კონსტრუქციის შემუშავება და ექსპერიმენტალური კვლევა.

ძირითადი ამოცანა სპრედერის პროექტირებისას ლითონტევადობის შემცირებაა. ამ ამოცანის რეალიზაცია მრავლადაა დამოკიდებული საანგარიშო სქემების სწორ შერჩევაზე. კვლევის ობიექტად შერჩეულია  $20^I$  და  $40^I$  ნახევრად ავტომატური სპრედერები.

საანგარიშო მდგომარეობის შერჩევისას უნდა იყოს დაცული შემდეგი პირობები: საანგარიშო მდგომარეობა არ უნდა ეწინააღმდეგებოდეს ტექნიკური ექსპლუატაციის პირობებს და უნდა შეესაბამისებოდეს მანქანის მაქსიმალურ მდგრადობას.

ძირითად საანგარიშო მდგომარეობად მიჩნეულია სავსე კონტეინერის დასაწყობება. წინადობასთან, გემის ტრიუმის კედელთან შეხლა ხდება მარცხენა/მარჯვენა კუთხით, ან სპრედერის შუა ნაწილით.

სპრედერით მუშაობისას განსაკუთრებული როლი ენიჭება უეცრობას, როდესაც ოპერატორი ვერ ხედავს ფარულ წინადობას. მაღალ სიჩქარეზე შეჯახებისას დატვირთვა აშკარად გამოხატული დარტყმითი ხასიათისაა, რამდენადაც სპრედერის მოქმედი დატვირთვის სიდიდე დამოკიდებულია მისი კონსტრუქციისა და წინადობის სიხისტეზე. ქვემოთ განიხილება არა ზამბარაზე მიმაგრებული მასის რხევითი პროცესი, არამედ მისი გადაად-გილება რხევის პერიოდის პირველ მეოთხედში. მაშინ მუშა მოწყობილობის და დემპფერის სიხისტე  $C_1$  და  $C_2$  შეიძლება განხილული იქნას, როგორც ორი მიმდევრობით შეერთებული სიხისტე და სიხისტე ენერგიის ბალანსის განტოლებაში ოპერირება გაკეთდეს დაყვანილი სიხისტით

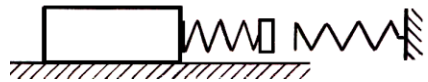
$$C = C_1 C_2 / (C_1 + C_2). \quad (1)$$

გაანგარიშებაში სპრედერის წინადობასთან შეჯახებისას არ შეიძლება განვიხილოთ ნებისმიერი წინადობის სიხისტე. საანგარიშო წინადობის შერჩევისას დასაშვებია, ანგარიში ვაწარმოოთ აბსოლიტურად ხისტ წინადობაზე, რამდენადაც საანგარიშო სიხისტის სიდიდის დადგენა დასაშვებია იმ მოსაზრებიდან, რომ სპრედერი სამუშაოთა შესრულებისას შეიძლება შეეჯახოს ტრიუმის კედელს.

რამდენადაც სპრედერის მუშა მოწყობილობის სიხისტე დამოკიდებულია სიგრცეში მის მდებარეობაზე, საინტერესოა მისი როგორც სივრცითი სქემის ანალიტიკური ურთიერთკავშირების დადგენა ცვლად გეომეტრიულ პარამეტრებთან და ამ პარამეტრების ცვალებადობის ზღვრების დადგენა.

მუშა ორგანოს მასიურ წინადობასთან შეხლისას დინამიკური დატვირთვა ძირითადად განისაზღვრება სპრედერის გადაადგილების სიჩქარით, გადასატვირთი კონტეინერის მასით და სპრედერის და წინადობის სიხისტით. ექვივალენტური სქემა წარმოდგენილია ნახ. 1-ზე, სადაც  $m$  – სპრედერისა და კონტეინერის მასაა.

$m$        $c_1$        $c_2$



სურ. 2 ექვივალენტური სქემა

წინადობასთან შეჯახებისთანავე იწყება წინადობისა და სპრედერის დეფორმაცია. ტრიუმის კედლის დეფორმაცია უგულებელყოფილია, რამდენადაც ლითონებრუებიაში დარტყმის სიდიდე აღწევს მაქსიმუმს მის საგრძნობ დეფორმაციამდე.

დარტყმისას წარმოქმნილი ზღვრული დატვირთვების განსაზღვრისას აუცილებლობას არ წარმოადგენს მასების მოძრაობის კანონის შესწავლა, რამდენადაც მალის მაქსიმუმი მიიღწევა რხევის მეოთხედ პერიოდში.

დინამიკური ძალა განსაზღვრული ენერგიის ბალანსის განტოლებიდან

$$P_g = V_o \sqrt{Cm} \quad (2)$$

$C$  – სისტემის დაყვანილი სიხისტე;

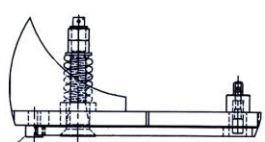
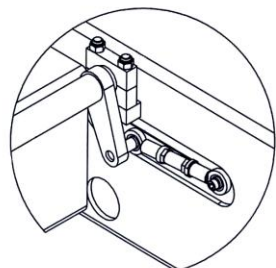
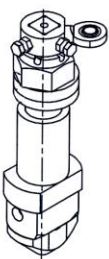
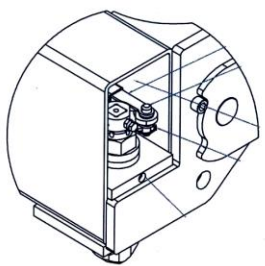
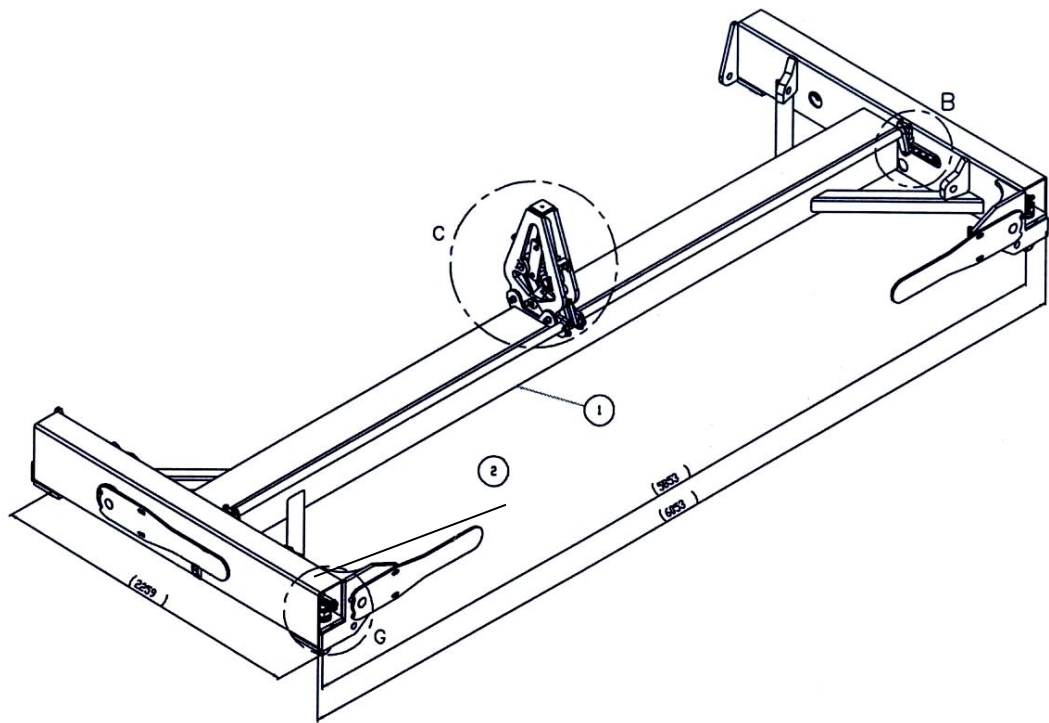
ალბათობა ისეთ წინაღობასთან შეჯახებისას, რომლის სიხისტე გაცილებით მეტია სპრედერის სიხისტეზე მცირეა. ამიტომ მაღალუფექტურობის შესანარჩუნებლად ისეთ სამუშაოთა შესრულების დროსაც კი, როცა ადგილი აქვს პირდაპირ დარტყმას, დემპფერის გაანგარიშება ხდება უეცარ დატვირთვაზე.

ექსტრემალური დატვირთვების დროს განვითარებული პროცესების კვლევა ფრიად საინტერესოა, რამდენედაც შესაძლებელია დადგინდეს დინამიკური დატვირთვების სიდიდეზე მოქმედი ფაქტორები და შეირჩეს სხვადასხვა ტიპის დამცავ მოწყობილობათა პარამეტრები, რომლებიც უზრუნველყოფენ სპრედერის კონსტრუქციული ელემენტების რაციონალურ მუშაობას გადატვირთვის გარეშე.

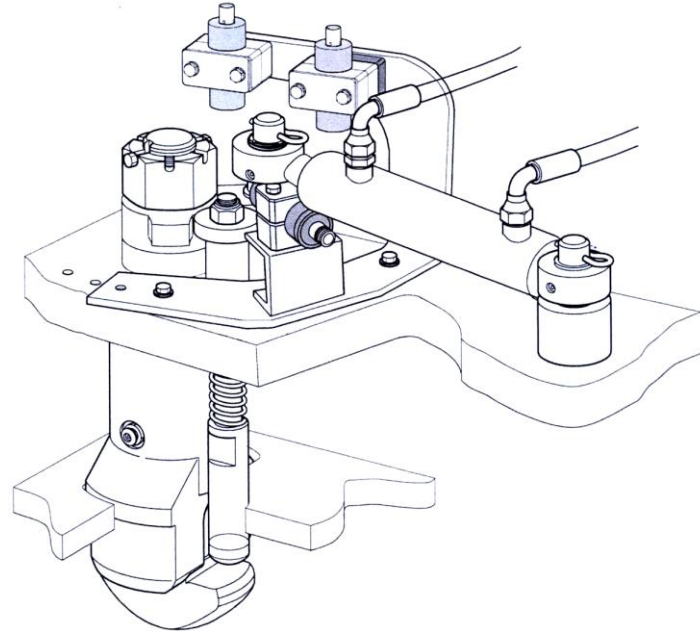
თეორიულმა და ექსპერიმენტალურმა კვლევამ დაადგინა, რომ დინამიკური ძალა სპრედერის ძელის გარე ნაწილით დარტყმისას გაცილებით ნაკლებია, ვიდრე შუა ნაწილით.

ჩატარებული კვლევისას შემუშავებული იქნა სპრედერის დემპფერული კვანძის კონსტრუქცია, რომელიც წარმოადგენს სპრედერის გვერდით ძელებზე გარე მხრიდან დადუღებულ 10 მმ სისქის ფურცელს (სურ. 5), ზომით 1750x400x10. სპრედერთან ერთად დამცავი ფურცელი განიხილება, როგორც მიმდევრობით ჩართულ სიხისტეები და უზრუნველყოფს დარტყმის საწინააღმდეგო მედეგობის ამაღლებას.

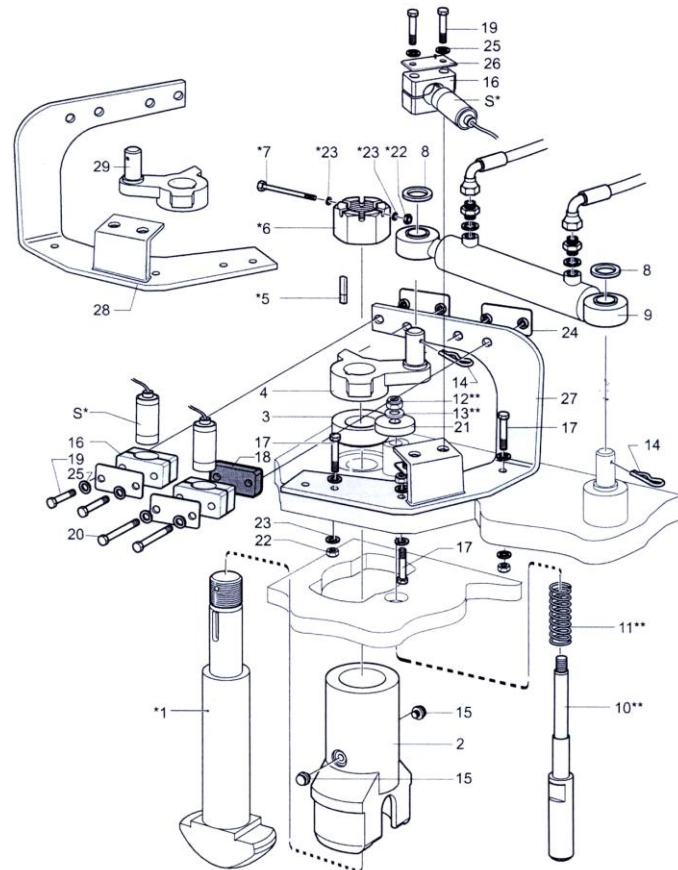
სპრედერის კონსტრუქციის დატვირთულ მდგომარეობაზე სრული წარმოდგენის მიზნით დამზადებული იქნა მისი მოდელი, სხვადასხვა სისქის დამცავი ფურცელით, კვლევა ტარდებოდა ფოთის საზღვაო ნავსადგურში (სურ. 80, 81).



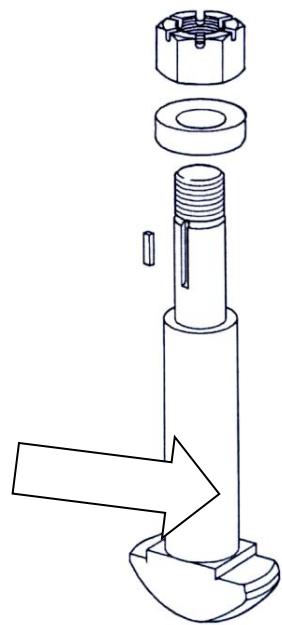
ნახ. 3 ნახევრადავტომატური სპრედერის კონსტრუქციული ნახაზი



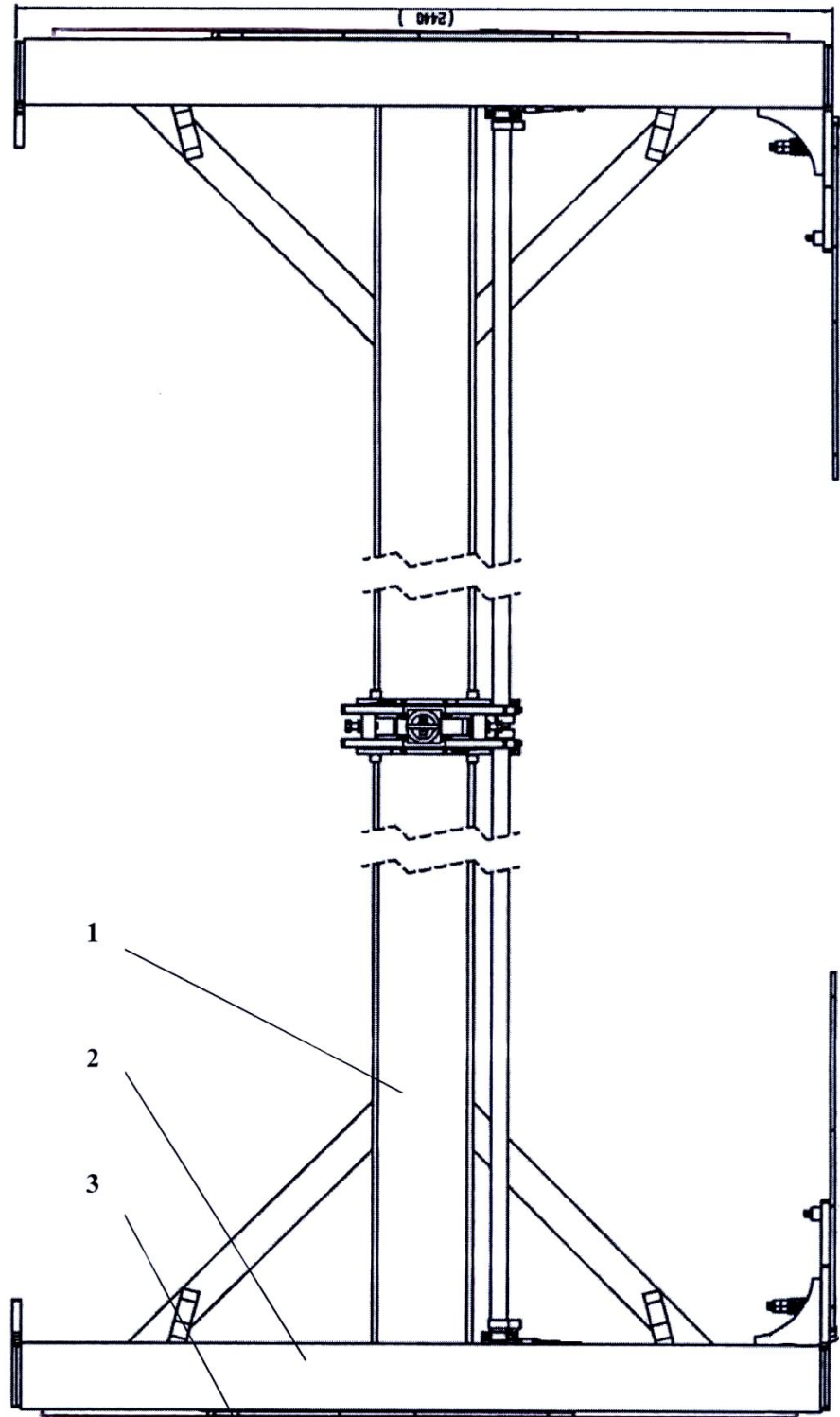
ნახ. 4 სპრედერის სატაცის მართვის სქემა



ნახ. 5 სპრედერის სატაცის სამონტაჟო სქემა



ნახ. 6 სპრედერის სატაცის დაზიანების ზონები



ნახ. 7 მოდერნიზირებული ნახევრად ავტომატური სპრედერი

1-გრძივი ძელი; 2-განივი ძელი; 3-მაღლმპფირებელი ფურცელი

ნაშრომში ჩამოყალიბებულია შემდეგი ძირითადი შედეგები:

1. სპრედერის მუშა მოწყობილობის სიხისტე დამოკიდებულია სივრცეში მის მდებარეობაზე;
2. დინამიკური ძალა  $20^I$  მოდერნიზირებული საკონტეინერო სპრედერების გამოყენებისას მცირდება 2,91-ჯერ.
3. დინამიკური ძალა  $40^I$  მოდერნიზირებული საკონტეინერო სპრედერების გამოყენებისას (იმავე სისქის დამცავი ფურცლის გამოყენებით) მცირდება 1, 63-ჯერ.



სურ. 73



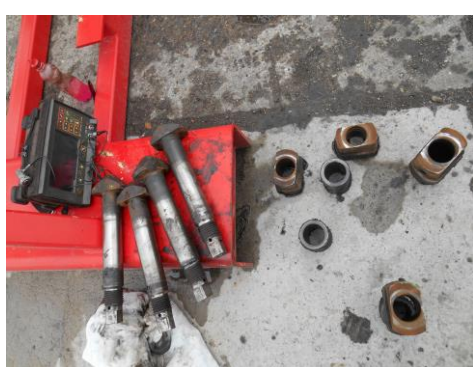
სურ. 74



სურ. 75



სურ. 76



სურ. 77



სურ. 78



სურ. 79



სურ. 80



სურ. 81

## ლიტერატურა

1. Сирил М. Харрис, Чарльз И. Крид, Справочник по ударным нагрузкам – Ленинград, «Судостроение», 1980., стр. 360.
2. Нарешелашвили Н. Л., Метод приведения жесткости бульдозерного рабочего оборудования к месту приложения нагрузки. Механическое оборудование стройиндустрии. Сб. научн. тр./ГПИ,- Тбилиси, 1985, №4(286);
3. Нарешелашвили Н. Л. Уравнение баланса энергии при ударе. Транспорт (Научно-технический отраслевой журнал), 2011, №1-2, (41-42) с, 56-5